

(532) 析出物を含まない25Cr-20Niオーステナイト系ステンレス鋼の高温クリープ(温度領域1133~1193K)における応力降下実験

阪大工学部
小松製作所

○高橋康夫 山根寿己
中川浩一

1. 緒言

結晶固体の高温クリープにおいて、その定常クリープ速度、 $\dot{\epsilon}_s$ は通常、次式によって表現できる。

$$\dot{\epsilon}_s = A \cdot \sigma_a^n \exp(-Q_c/RT) \quad (1)$$

ここで、Aは定数、 σ_a はクリープ試験での外部応力、nは応力指数、 Q_c はクリープの活性化エネルギー、Rはガス定数、Tは絶対温度である。しかし多くの合金、ステンレス鋼において、(1)式では十分に高温クリープを理解出来ない。そこで応力降下試験によって内部応力を求め、これから高温クリープを解釈する試みがなされて来た。 δ 系ステンレス鋼¹⁾²⁾³⁾においても同じような試みがなされている。しかし、1133~1193Kにおける実験報告は非常に少ない。又、この温度領域において(特にT>1153K) Q_c がFeの自己拡散の活性化エネルギーより倍に大きい値を指すことがあり、粒度に依存することから⁴⁾この温度域における高温クリープを理解する上で、応力降下実験をすることは、重要と考える。本研究においては、析出物を含まない25Cr-20Niステンレス鋼を試料に用い、定常クリープ中における応力降下実験を通して $\dot{\epsilon}_s$ の温度依存性を理解することを目的としている。

2. 実験方法及び結果

外部応力 σ_a (9.8~39.2MPa) でクリープ試験を行い、 $\dot{\epsilon}_s$ の応力及び温度依存性を求めた。粒度 $d = 60\mu m$ では $n=4$ 、低応力で $Q_c \approx 180 kJ/mol$ 、高応力 ($\sigma_a \geq 24.5 MPa$) で $Q_c \approx 260 kJ/mol$ 、 $d=160, 600\mu m$ では、 $n \approx 6 \sim 7$ 、 $Q_c > 350 kJ/mol$ となる。次に先に求めた定常クリープ領域で応力降下実験(精度0.5 μm)を行い、応力降下後の潜伏期 Δt_i 及びその後達成される定常クリープ速度 $\dot{\epsilon}_s$ を求めた。

応力降下後の時間-歪カーブの一例を図1に示す。昨年の秋季大会⁵⁾で報告した⁶⁾はほぼ σ_a (応力降下実験における初期外部応力) に等しい。これは $\sigma_p \approx \sigma_a$ を示唆する。図2に見られるように、ある応力降下値 $\Delta \sigma_c$ より応力降下値 $\Delta \sigma$ が大きくなると、 $\Delta \sigma$ の増加に伴い、急激に Δt_i が増大する。又 $\Delta \sigma_c$ より $\Delta \sigma$ が少し大きくなると降下後 Negative Creep を生じる。今、左停滞応力 σ_c を $(\sigma_a - \Delta \sigma_c)$ として定義すると、粒度 $d=160, 600\mu m$ では $\dot{\epsilon}_s \propto (\sigma_a - \sigma_c)^n \exp(-Q_c/RT)$ という関係式が実験誤差内で成立する。 Q_c は図3に示されるような値をとり、ほぼFeの自己拡散の活性化エネルギー ($\approx 285 kJ/mol$) に一致する。しかし $d=60\mu m$ においては明確な Q_c の値を定めることが出来なかった。

- 1) 近藤義宏、松尾孝 藤田隆之、田中良平、鉄と鋼、1979、65(17)896
- 2) I. R. McLaughlin, Met. Sci. 2(1974) 247, 3) D. K. Chopra, and K. Natasam Met. Trans. 8A (1977) 633, 4) 高橋康夫、山根寿己, J. Mater. Sci. 15(1) (1980), 5) 鉄と鋼 65(11) (1979) 5851, 852,

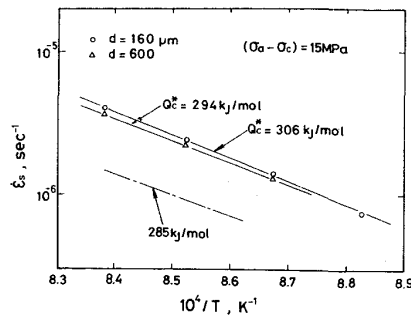


図 3

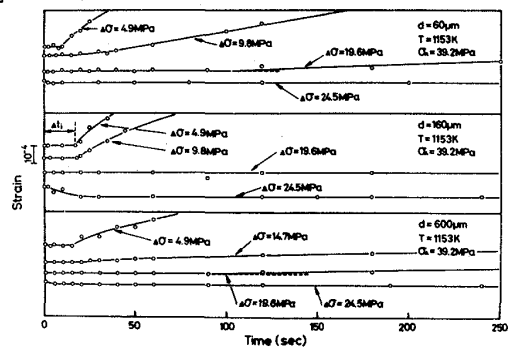


図 1

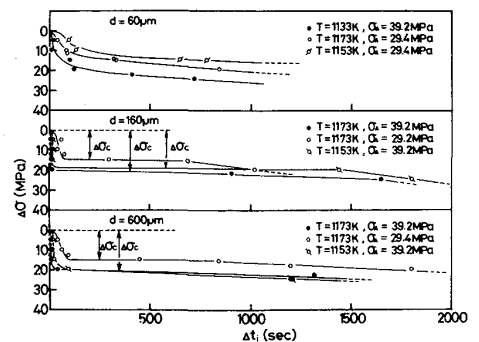


図 2